

WYBRANE ZASTOSOWANIA ANALITYCZNYCH METOD MODELOWANIA ROZMYTEGO I INTELIGENCJI OBLICZENIOWEJ

Jacek Kluska

KIA

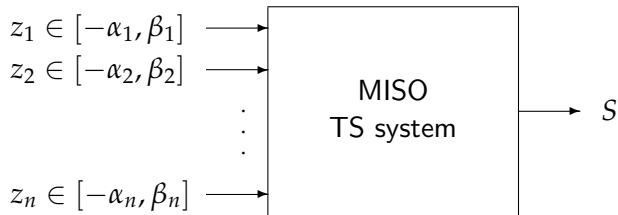
Zastosowania

- Sterowanie pojazdami, ABS, systemy nawigacji robotów, klimatyzatory, aparaty fotograficzne, kamery, windy, zmywarki, sprzęt AGD, pralki, odkurzacze, kuchenki do ryżu, GIS, OCR, ...
 - Mikroprocesory (NLX230, AL220, 68HC12).
-
- WoS (1969-2014): *fuzzy modeling* – 1 864, *fuzzy control* – 10 766.
 - H. Ying, *Fuzzy control and modeling. Analytical foundations and applications*. IEEE Press, New York 2000:
“*The fuzzy systems developed are mostly treated as (magic) black boxes with little analytical understanding and explanation.*”
 - J. Kluska, *Analytical methods in fuzzy modeling and control*, (Kacprzyk J. Ed.), Series: Studies in Fuzziness and Soft Computing, Vol. 241, Springer-Verlag Berlin Heidelberg, 2009.

- System TSK z liniowymi funkcjami przynależności.
- Generator i macierz fundamentalna.
- Zupełność i niesprzeczność reguł, meta-reguły.
- Rekursja.
- Systemy TS z punktu widzenia logik wielowartościowych.
- Systemy TS z funkcjami przynależności 2-go rzędu.

Przykładowe zastosowania

- Projektowanie układów regulacji.
- Identyfikacja wieloliniowych systemów dynamicznych.
- Zastosowanie rozmytego przerzutnika JK.
- Rozwiązanie analityczne problemu nawigacji.
- Rozmyty system regułowy jako system wspomagania decyzji.
- Sprzętowe implementacje prostych systemów rozmytych.

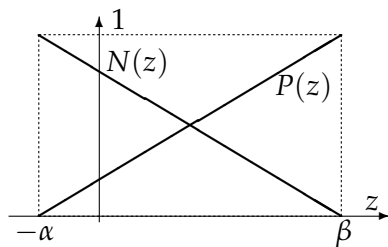


Rysunek: SE-TS o wielu wejściach i jednym wyjściu.

Liniowe funkcje przynależności

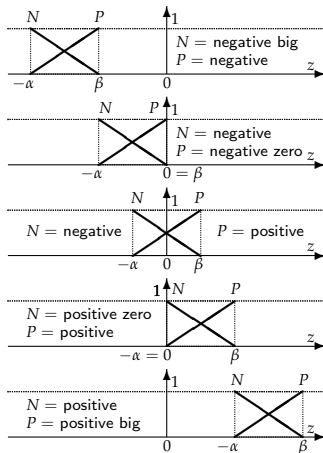
$$N_k(z_k) = \frac{\beta_k - z_k}{\alpha_k + \beta_k}, \quad (1)$$

$$P_k(z_k) = 1 - N_k(z_k), \quad k = 1, 2, \dots, n. \quad (2)$$



Rysunek: Funkcje przynależności zbiorów rozmytych.

Lingwistyczna interpretacja zbiorów rozmytych



Rysunek: 5 różnych interpretacji.

Nierozmyte wyjście systemu MISO P1-TS

- 2^n reguł

Jeżeli z_1 jest A_{i_1} & ... & z_n jest A_{i_n} , to $S = q_{(i_1, \dots, i_n)}$, $q_{(i_1, \dots, i_n)} \in \mathbb{R}$ (3)

$$A_{i_k} = \begin{cases} N_k, & \text{dla } i_k = 0 \\ P_k, & \text{dla } i_k = 1 \end{cases}, \quad k = 1, \dots, n. \quad (4)$$

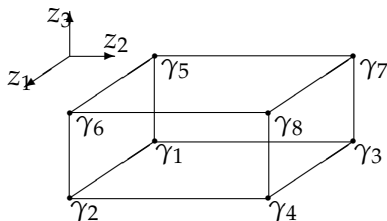
- Nierozmyte wyjście

$$S(z_1, \dots, z_n) = \frac{\sum_{v=1}^{2^n} \top(A_{i_1}(z_1), \dots, A_{i_n}(z_n))_v \cdot q_v}{\sum_{v=1}^{2^n} \top(A_{i_1}(z_1), \dots, A_{i_n}(z_n))_v}. \quad (5)$$

- \top – *t-norma algebraiczna*,
- $v = 1 + \sum_{k=1}^n i_k 2^{n-k}$ dla $i_k \in \{0, 1\}$, $v \leftrightarrow (i_1, \dots, i_n) \in \{0, 1\}^n$.

Wejściowy zbiór uniwersalny

$$D^n = \times_{k=1}^n [-\alpha_k, \beta_k], \quad (6)$$



Rysunek: Hiperprostokąt D^3 .

Długość krawędzi i objętość D^n

$$L_k = \alpha_k + \beta_k, \quad V_k = \prod_{i=1}^k L_i, \quad k = 1, 2, \dots, n. \quad (7)$$

Funkcja realizowana przez system P1-TS

Twierdzenie

Niech $f_0 : D^n \rightarrow \mathbb{R}$,

$$f_0(\mathbf{z}) = \sum_{(p_1, p_2, \dots, p_n) \in \{0,1\}^n} \theta_{p_1, p_2, \dots, p_n} z_1^{p_1} z_2^{p_2} \cdots z_n^{p_n}, \quad (8)$$

gdzie $\theta_{p_1, p_2, \dots, p_n} \in \mathbb{R}$. Dla dowolnej funkcji o postaci (8), istnieje system MISO P1-TS zerowego rzędu:

$$S(\mathbf{z}) = f_0(\mathbf{z}), \quad \forall \mathbf{z} \in D^n$$

w którym wejścia z_k mają przyporządkowane zbiory rozmyte (1)-(2) i system ten zdefiniowany jest przez 2^n reguł (3)-(4).

Można znaleźć następniki reguł poprzez rozwiązanie 2^n równań liniowych. Jednoznaczne rozwiązanie zawsze istnieje.

Generator i macierz fundamentalna systemu P1-TS

- Generator**

$$\mathbf{g}(\mathbf{z}) = [1, \dots, z_1^{p_1} \cdots z_n^{p_n}, \dots, z_1 \cdots z_n]^T \in \mathbb{R}^{2^n}, \quad p_k \in \{0, 1\}, \quad (9)$$

- Macierz fundamentalna**

$$\mathbf{\Omega} = [\mathbf{g}(\gamma_1), \dots, \mathbf{g}(\gamma_{2^n})] \in \mathbb{R}^{2^n} \times \mathbb{R}^{2^n}, \quad (10)$$

- Wyjście nierozmyte

$$f_0(z_1, \dots, z_n) = \boldsymbol{\theta}^T \mathbf{g}(z_1, \dots, z_n), \quad \boldsymbol{\theta} \in \mathbb{R}^{2^n}, \quad (11)$$

Wniosek

$$\mathbf{q}^T = [q_1, \dots, q_{2^n}] = [f_0(\gamma_1), \dots, f_0(\gamma_{2^n})] = \boldsymbol{\theta}^T \mathbf{\Omega}, \quad (12)$$

Jak najprościej wyznaczyć wyjście systemu P1-TS ?

Twierdzenie

Wyjście systemu P1-TS

$$S(\mathbf{z}) = \mathbf{g}^T(\mathbf{z}) \left(\mathbf{\Omega}^T \right)^{-1} \mathbf{q} = f_0(\mathbf{z}), \quad (13)$$

$$\boldsymbol{\theta} = \left(\mathbf{\Omega}^T \right)^{-1} \mathbf{q}. \quad (14)$$

Dowód

$$\det \mathbf{\Omega} = (V_n)^{2^{n-1}}.$$

Co zrobić gdy mamy dużą bazę reguł ?

$$\begin{aligned} \mathbf{g}_0 &= 1, & \mathbf{\Omega}_0 &= 1, \\ \mathbf{g}_{k+1} &= \begin{bmatrix} 1 \\ z_{k+1} \end{bmatrix} \otimes \mathbf{g}_k \in \mathbb{R}^{2^{k+1}}, & k &= 0, 1, 2, \dots, n-1, \end{aligned} \quad (15)$$

gdzie “ \otimes ” - iloczyn Kroneckera.

Lemat

$$\mathbf{\Omega}_{k+1} = \begin{bmatrix} 1 & 1 \\ -\alpha_{k+1} & \beta_{k+1} \end{bmatrix} \otimes \mathbf{\Omega}_k \in \mathbb{R}^{2^{k+1} \times 2^{k+1}}, \quad k = 0, 1, 2, \dots, n-1. \quad (16)$$

Czego oczekujemy od eksperta ?

Wniosek

Przypuśćmy, że dana jest f_0 jak w (8). Warunek konieczny i wystarczający do tego, aby system P1-TS był równoważny z f_0 jest następujący:

$$q_v = f_0(\gamma_v), \quad \text{dla } v = 1, 2, \dots, 2^n. \quad (17)$$

- **Przy formułowaniu reguł, jedyną informacją wymaganą od eksperta są wartości nierozmytej funkcji w wierzchołkach hiperprostokąta D^n .**

Zupełność i niesprzeczność systemu reguł. Metareguły

- 1 System rozmytych reguł "If-then" jest *zupełny*, jeżeli reguły zawierają wszystkie możliwe poprzedniki w części "If", co daje 2^n reguł jak w (3)-(4).
- 2 System rozmytych reguł "If-then" jest *sprzeczny*, jeżeli istnieją co najmniej dwie reguły, które mają ten sam poprzednik, lecz różne następniki.
- 3 Gdy liczba reguł jest duża, możemy używać *metareguł*. *Metareguła* jest to taka reguła "If-then", która w części "If" nie ma warunku odnoszącego się do jakiejś zmiennej wejściowej (lub występuje stwierdzenie typu " z_k jest dowolne").

Przykład

a)

$z_1,$	$z_2 \rightarrow$	
\downarrow	N_2	P_2
N_1	q_1	q_3
P_1	q_2	q_4

$$\left. \begin{array}{l} R_1 : \text{If } z_1 \text{ is } N_1 \text{ and } z_2 \text{ is } N_2, \text{ then } S = q_1, \\ R_2 : \text{If } z_1 \text{ is } P_1 \text{ and } z_2 \text{ is } N_2, \text{ then } S = q_2, \\ R_3 : \text{If } z_1 \text{ is } N_1 \text{ and } z_2 \text{ is } P_2, \text{ then } S = q_3, \\ R_4 : \text{If } z_1 \text{ is } P_1 \text{ and } z_2 \text{ is } P_2, \text{ then } S = q_4. \end{array} \right\}$$

Przykład

b)

$z_1,$ \downarrow	$z_2 \rightarrow$ N_2	P_2
N_1	q_1	—
P_1	q_2	q_4

$\left. \begin{array}{l} R_1 : \text{If } z_1 \text{ is } N_1 \text{ and } z_2 \text{ is } N_2, \text{ then } S = q_1, \\ R_2 : \text{If } z_1 \text{ is } P_1 \text{ and } z_2 \text{ is } N_2, \text{ then } S = q_2, \\ R_4 : \text{If } z_1 \text{ is } P_1 \text{ and } z_2 \text{ is } P_2, \text{ then } S = q_4. \end{array} \right\}$

Przykład

c)

$z_1, z_2 \rightarrow$

	N_2	P_2
N_1	q_1	q_1, q_3
P_1	q_2	—

R_1 : If z_1 is N_1 , then $S = q_1$,

R_2 : If z_1 is P_1 and z_2 is N_2 , then $S = q_2$,

R_3 : If z_1 is N_1 and z_2 is P_2 , then $S = q_3$.

\Updownarrow

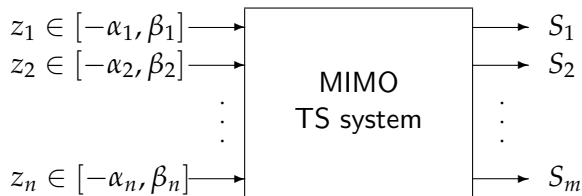
R'_1 : If z_1 is N_1 and z_2 is N_2 , then $S = q_1$,

R''_1 : If z_1 is N_1 and z_2 is P_2 , then $S = q_1$,

R_2 : If z_1 is P_1 and z_2 is N_2 , then $S = q_2$,

R_3 : If z_1 is N_1 and z_2 is P_2 , then $S = q_3$.

Opis macierzowy systemu MIMO P1-TS



Rysunek: System MIMO P1-TS.

Reguły w postaci konwencjonalnej

- 2^n reguł rozmytych

R_1 : If z_1 is N_1 and z_2 is N_2 and ... and z_n is N_n ,
then $S_1 = q_{1,1}, \dots, S_m = q_{1,m}$,

\vdots

R_v : If z_1 is A_{i_1} and z_2 is A_{i_2} and ... and z_n is A_{i_n} ,
then $S_1 = q_{v,1}, \dots, S_m = q_{v,m}$,

\vdots

R_{2^n} : If z_1 is P_1 and z_2 is P_2 and ... and z_n is P_n ,
then $S_1 = q_{2^n,1}, \dots, S_m = q_{2^n,m}$,

gdzie $A_{i_k} \in \{N_k, P_k\}$, $k = 1, 2, \dots, n$, $i_k \in \{0, 1\}$, jak w (4).

Reguły w postaci macierzowej

If $[z_1, \dots, z_n]$ is **M**, then $[S_1, \dots, S_m]$ is **Q**, (18)

gdzie *macierz poprzedników reguł*

$$\mathbf{M} = \begin{bmatrix} N_1 & \cdots & N_{n-1} & N_n \\ \vdots & \ddots & \vdots & \vdots \\ A_{i_1} & \cdots & A_{i_{n-1}} & A_{i_n} \\ \vdots & \ddots & \vdots & \vdots \\ P_1 & \cdots & P_{n-1} & P_n \end{bmatrix}_{2^n \times n}, \quad (19)$$

oraz $(A_{i_1}, \dots, A_{i_{n-1}}, A_{i_n}) \in \{N_1, P_1\} \times \dots \times \{N_{n-1}, P_{n-1}\} \times \{N_n, P_n\}$,
macierz następników reguł

$$\mathbf{Q} = [\mathbf{q}_1, \dots, \mathbf{q}_j, \dots, \mathbf{q}_m] = \begin{bmatrix} q_{1,1} & \cdots & q_{1,j} & \cdots & q_{1,m} \\ q_{2,1} & \cdots & q_{2,j} & \cdots & q_{2,m} \\ \vdots & \ddots & \vdots & \ddots & \vdots \\ q_{2^n,1} & \cdots & q_{2^n,j} & \cdots & q_{2^n,m} \end{bmatrix} \in \mathbb{R}^{2^n \times m}. \quad (20)$$

Obliczanie wyjścia systemu MIMO P1-TS

Twierdzenie

Dany jest system MIMO P1-TS za pomocą jednej reguły w postaci macierzowej (18)-(20). Macierz wyjść nierozmytych $S(\mathbf{z}) = [S_1, \dots, S_m]$ można obliczyć następująco

$$\mathbf{S}(\mathbf{z}) = \mathbf{g}^T(\mathbf{z}) \left(\mathbf{\Omega}^T \right)^{-1} \mathbf{Q}, \quad (21)$$

gdzie \mathbf{Q} jest macierzą następników reguł

$$\mathbf{Q} = \mathbf{\Omega}^T \mathbf{\Theta}, \quad (22)$$

oraz

$$\mathbf{\Theta} = [\boldsymbol{\theta}_1, \dots, \boldsymbol{\theta}_m] \in \mathbb{R}^{2^n \times m},$$

$$\boldsymbol{\theta}_j = [\theta_{j,00\dots 0}, \theta_{j,10\dots 0}, \theta_{j,01\dots 0}, \dots, \theta_{j,11\dots 1}]^T \in \mathbb{R}^{2^n}, \quad j = 1, \dots, m. \quad (23)$$

Rekursja w systemach P1-TS: odwrotność macierzy fundamentalnej

Motywacja

- P1-TS: $\dim \mathfrak{g} = 2^n$, $\dim \mathbf{\Omega} = 4^n$.

Lemat

Dla P1-TS prawdziwa jest rekursja

$$\mathbf{\Omega}_0 = 1,$$

$$\mathbf{\Omega}_{k+1}^{-1} = \frac{1}{L_{k+1}} \begin{bmatrix} \beta_{k+1} & -1 \\ \alpha_{k+1} & 1 \end{bmatrix} \otimes \mathbf{\Omega}_k^{-1}, \quad k = 0, 1, 2, \dots, n-1. \quad (24)$$

Rekursja w systemach P1-TS: obliczanie wyjścia

Twierdzenie

Nierozmyte wyjście systemu P1-TS można wyrazić rekurencyjnie

$$S_n(q_1, \dots, q_{2^n}) = N_n(z_n) S_{n-1}(q_1, \dots, q_{2^{n-1}}) + P_n(z_n) S_{n-1}(q_{2^{n-1}+1}, \dots, q_{2^n}), \quad n = 1, 2, \dots \quad (25)$$

- $S_n(q_1, \dots, q_{2^n})$ – wyjście systemu z wejściami $(z_1, \dots, z_n) \in D^n$ z następnikami reguł $[q_1, \dots, q_{2^n}]^T$,
- $N_n(z_n)$ i $P_n(z_n)$ – funkcje przynależności (1)-(2) dla $z_n \in [-\alpha_n, \beta_n]$,
- $S_{n-1}(q_1, \dots, q_{2^{n-1}})$ – wyjście systemu z wejściami $(z_1, \dots, z_{n-1}) \in D^{n-1}$ i następnikami reguł $[q_1, \dots, q_{2^{n-1}}]^T$,
- $S_{n-1}(q_{2^{n-1}+1}, \dots, q_{2^n})$ – wyjście systemu z wejściami $(z_1, \dots, z_{n-1}) \in D^{n-1}$ i następnikami reguł $[q_{2^{n-1}+1}, \dots, q_{2^n}]^T$.

Przykład systemu P1-TS o sześciu wejściach - generator

Przykład

- $n = 6$

$$\mathbf{g}_6 = [1, z_1, z_2, z_1z_2, z_3, z_1z_3, z_2z_3, z_1z_2z_3, z_4, z_1z_4, z_2z_4, z_1z_2z_4, z_3z_4, z_1z_3z_4, z_2z_3z_4, z_1z_2z_3z_4, z_5, z_1z_5, z_2z_5, z_1z_2z_5, z_3z_5, z_1z_3z_5, z_2z_3z_5, z_1z_2z_3z_5, z_4z_5, z_1z_4z_5, z_2z_4z_5, z_1z_2z_4z_5, z_3z_4z_5, z_1z_3z_4z_5, z_2z_3z_4z_5, z_1z_2z_3z_4z_5, z_6, z_1z_6, z_2z_6, z_1z_2z_6, z_3z_6, z_1z_3z_6, z_2z_3z_6, z_1z_2z_3z_6, z_4z_6, z_1z_4z_6, z_2z_4z_6, z_1z_2z_4z_6, z_3z_4z_6, z_1z_3z_4z_6, z_2z_3z_4z_6, z_1z_2z_3z_4z_6, z_5z_6, z_1z_5z_6, z_2z_5z_6, z_1z_2z_5z_6, z_3z_5z_6, z_1z_3z_5z_6, z_2z_3z_5z_6, z_1z_2z_3z_5z_6, z_4z_5z_6, z_1z_4z_5z_6, z_2z_4z_5z_6, z_1z_2z_4z_5z_6, z_3z_4z_5z_6, z_1z_3z_4z_5z_6, z_2z_3z_4z_5z_6, z_1z_2z_3z_4z_5z_6]^T.$$

Przykład systemu P1-TS o sześciu wejściach - metareguły

Przykład

M_1 : If z_1 is N_1 and z_3 is P_3 and z_4 is N_4 , then $S = a$,

M_2 : If z_3 is P_3 and z_4 is P_4 and z_6 is N_6 , then $S = b$,

M_3 : If z_1 is P_1 and z_2 is N_2 and z_4 is N_4 and z_5 is N_5 , then $S = c$,

M_4 : If z_1 is N_1 and z_3 is N_3 , then $S = 0$,

M_5 : If z_4 is P_4 and z_6 is P_6 , then $S = 0$,

M_6 : If z_1 is P_1 and z_4 is N_4 , and z_5 is P_5 , then $S = 0$,

M_7 : If z_1 is P_1 and z_3 is N_3 and z_4 is P_4 and z_6 is N_6 , then $S = 0$,

M_8 : If z_1 is P_1 , and z_2 is P_2 and z_4 is N_4 , then $S = 0$.

Wykorzystanie obliczeń symbolicznych

Na podstawie Twierdzenia o rekursji otrzymujemy

$$S_1(q_1, q_2) = \frac{\beta_1 - z_1}{\alpha_1 + \beta_1} q_1 + \frac{z_1 + \alpha_1}{\alpha_1 + \beta_1} q_2,$$

$$S_2(q_1, q_2, q_3, q_4) = \frac{\beta_2 - z_2}{\alpha_2 + \beta_2} S_1(q_1, q_2) + \frac{\alpha_2 + z_2}{\alpha_2 + \beta_2} S_1(q_3, q_4),$$

$$S_3(q_1, \dots, q_8) = \frac{\beta_3 - z_3}{\alpha_3 + \beta_3} S_2(q_1, q_2, q_3, q_4) + \frac{\alpha_3 + z_3}{\alpha_3 + \beta_3} S_2(q_5, q_6, q_7, q_8),$$

$$S_4(q_1, \dots, q_{16}) = \frac{\beta_4 - z_4}{\alpha_4 + \beta_4} S_3(q_1, \dots, q_8) + \frac{\alpha_4 + z_4}{\alpha_4 + \beta_4} S_3(q_9, \dots, q_{16}),$$

$$S_5(q_1, \dots, q_{32}) = \frac{\beta_5 - z_5}{\alpha_5 + \beta_5} S_4(q_1, \dots, q_{16}) + \frac{\alpha_5 + z_5}{\alpha_5 + \beta_5} S_4(q_{17}, \dots, q_{32}),$$

$$S_6(q_1, \dots, q_{64}) = \frac{\beta_6 - z_6}{\alpha_6 + \beta_6} S_5(q_1, \dots, q_{32}) + \frac{\alpha_6 + z_6}{\alpha_6 + \beta_6} S_5(q_{33}, \dots, q_{64}).$$

System P1-TS jako układ działający zgodnie z logiką wielowartościową

Przykład

Niech $z_k \in [0, 1]$ dla $k = 1, \dots, 6$ dla reguł z przykładu. Wyjście

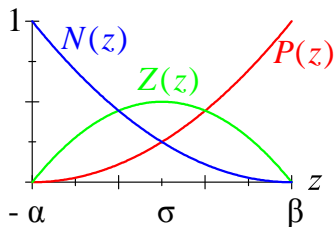
$$S = \underbrace{a(1 - z_1)z_3(1 - z_4)}_{M_1} + \underbrace{bz_3z_4(1 - z_6)}_{M_2} + \underbrace{cz_1(1 - z_2)(1 - z_4)(1 - z_5)}_{M_3}.$$

M_1 : If z_1 is N_1 and z_3 is P_3 and z_4 is N_4 , then $S = a$,

M_2 : If z_3 is P_3 and z_4 is P_4 and z_6 is N_6 , then $S = b$,

M_3 : If z_1 is P_1 , and z_2 is N_2 and z_4 is N_4 and z_5 is N_5 , then $S = c$.

- Dla $a = b = c = 1$ system przetwarza informację wyrażoną w logice wielowartościowej: $\mathbf{z} \in [0, 1]^6 \Rightarrow$ prosta interpretacja.



Rysunek: Funkcje z parametrem $\lambda = 1$; ($0 < \lambda \leq 1$).

$$N(z) = \frac{(\alpha + \beta - \lambda(z + \alpha))(\beta - z)}{(\alpha + \beta)^2}, \quad (26)$$

$$Z(z) = 2\lambda \frac{(\beta - z)(z + \alpha)}{(\alpha + \beta)^2}, \quad (27)$$

$$P(z) = \frac{(\alpha + \beta + \lambda(z - \beta))(z + \alpha)}{(\alpha + \beta)^2}. \quad (28)$$

Generator i macierz fundamentalna dla systemu P2-TS

$$\mathbf{g}_0 = 1, \quad \mathbf{g}_k(z_1, \dots, z_k) = \begin{bmatrix} 1 \\ z_k \\ z_k^2 \end{bmatrix} \otimes \mathbf{g}_{k-1}(z_1, \dots, z_{k-1}) \in \mathbb{R}^{3^k}, \quad (29)$$

Twierdzenie

Macierz fundamentalna dla systemu P2-TS z wejściami $(z_1, \dots, z_k) \in D^k$:

$$\begin{aligned} \mathbf{\Omega}_0 &= 1, \\ \mathbf{\Omega}_k &= \begin{bmatrix} 1 & 1 & 1 \\ -\alpha_k & \sigma_k & \beta_k \\ \alpha_k^2 & \frac{1}{2} \left(\alpha_k^2 + \beta_k^2 - \frac{(\alpha_k + \beta_k)^2}{\lambda_k} \right) & \beta_k^2 \end{bmatrix} \otimes \mathbf{\Omega}_{k-1}, \end{aligned} \quad (30)$$

dla $k = 0, 1, 2, \dots, n-1$, gdzie $\lambda_k \in (0, 1]$.

Macierz fundamentalna dla dwuwęściowego systemu P2-TS

Przykład

Dla $\lambda_1 = \lambda_2 = 1$ otrzymujemy

$$\Omega_2^T = \begin{bmatrix} 1 & -\alpha_1 & \alpha_1^2 & -\alpha_2 & \alpha_1\alpha_2 & -\alpha_1^2\alpha_2 & \alpha_2^2 & -\alpha_1\alpha_2^2 & \alpha_1^2\alpha_2^2 \\ 1 & \sigma_1 & -\alpha_1\beta_1 & -\alpha_2 & -\sigma_1\alpha_2 & \alpha_1\alpha_2\beta_1 & \alpha_2^2 & \sigma_1\alpha_2^2 & -\alpha_1\alpha_2^2\beta_1 \\ 1 & \beta_1 & \beta_1^2 & -\alpha_2 & -\alpha_2\beta_1 & -\alpha_2\beta_1^2 & \alpha_2^2 & \alpha_2^2\beta_1 & \alpha_2^2\beta_1^2 \\ 1 & -\alpha_1 & \alpha_1^2 & \sigma_2 & -\alpha_1\sigma_2 & \alpha_1^2\sigma_2 & -\alpha_2\beta_2 & \alpha_1\alpha_2\beta_2 & -\alpha_1^2\alpha_2\beta_2 \\ 1 & \sigma_1 & -\alpha_1\beta_1 & \sigma_2 & \sigma_1\sigma_2 & -\alpha_1\beta_1\sigma_2 & -\alpha_2\beta_2 & -\sigma_1\alpha_2\beta_2 & \alpha_1\alpha_2\beta_1\beta_2 \\ 1 & \beta_1 & \beta_1^2 & \sigma_2 & \beta_1\sigma_2 & \beta_1^2\sigma_2 & -\alpha_2\beta_2 & -\alpha_2\beta_1\beta_2 & -\alpha_2\beta_1^2\beta_2 \\ 1 & -\alpha_1 & \alpha_1^2 & \beta_2 & -\alpha_1\beta_2 & \alpha_1^2\beta_2 & \beta_2^2 & -\alpha_1\beta_2^2 & \alpha_1^2\beta_2^2 \\ 1 & \sigma_1 & -\alpha_1\beta_1 & \beta_2 & \sigma_1\beta_2 & -\alpha_1\beta_1\beta_2 & \beta_2^2 & \sigma_1\beta_2^2 & -\alpha_1\beta_1\beta_2^2 \\ 1 & \beta_1 & \beta_1^2 & \beta_2 & \beta_1\beta_2 & \beta_1^2\beta_2 & \beta_2^2 & \beta_1\beta_2^2 & \beta_1^2\beta_2^2 \end{bmatrix} \quad (31)$$

Twierdzenie

Jeżeli $\Omega_0 = 1$ oraz Ω_n jest macierzą fundamentalną systemu P2-TS z n wejściami, ($n \geq 1$), to

$$\Omega_n^{-1} = \frac{1}{L_n^2} \begin{bmatrix} \beta_n (L_n - \alpha_n \lambda_n) & -L_n + (\alpha_n - \beta_n) \lambda_n & \lambda_n \\ 2\alpha_n \beta_n \lambda_n & 4\sigma_n \lambda_n & -2\lambda_n \\ \alpha_n (L_n - \beta_n \lambda_n) & L_n + (\alpha_n - \beta_n) \lambda_n & \lambda_n \end{bmatrix} \otimes \Omega_{n-1}^{-1}, \quad (32)$$

gdzie $L_n = \alpha_n + \beta_n$.

Kolejna rekursja dla systemów P2-TS

Twierdzenie

Nierozmyte wyjście systemu P2-TS można wyznaczyć rekursywnie

$$\begin{aligned} S_n(q_{0,\dots,0,0}, \dots, q_{2,\dots,2,2}) = & N_n(z_n) S_{n-1}(q_{0,\dots,0,0}, \dots, q_{2,\dots,2,0}) \\ & + Z_n(z_n) S_{n-1}(q_{0,\dots,0,1}, \dots, q_{2,\dots,2,1}) \\ & + P_n(z_n) S_{n-1}(q_{0,\dots,0,2}, \dots, q_{2,\dots,2,2}), \end{aligned} \quad (33)$$

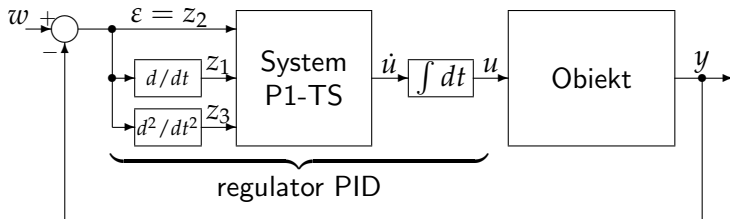
$S_n(q_{0,\dots,0,0}, \dots, q_{2,\dots,2,2})$ – wyjście dla wejść $(z_1, \dots, z_n) \in D^n$ i następników reguł $[q_{0,\dots,0,0}, \dots, q_{2,\dots,2,2}]^T$,

$S_{n-1}(q_{0,\dots,0,0}, \dots, q_{2,\dots,2,0})$ – wyjście dla wejść $(z_1, \dots, z_{n-1}) \in D^{n-1}$ i następników reguł $[q_{0,\dots,0,0}, \dots, q_{2,\dots,2,0}]^T$,

$S_{n-1}(q_{0,\dots,0,1}, \dots, q_{2,\dots,2,1})$ – wyjście dla wejść $(z_1, \dots, z_{n-1}) \in D^{n-1}$ i następników reguł $[q_{0,\dots,0,1}, \dots, q_{2,\dots,2,1}]^T$,

$S_{n-1}(q_{0,\dots,0,2}, \dots, q_{2,\dots,2,2})$ – wyjście dla wejść $(z_1, \dots, z_{n-1}) \in D^{n-1}$ i następników reguł $[q_{0,\dots,0,2}, \dots, q_{2,\dots,2,2}]^T$.

SYSTEM P1-TS JAKO REGULATOR



Rysunek: Zamknięty układ regulacji rozmytej.

Obiekt

$$\frac{d^2 y(t)}{dt^2} + 2\zeta\omega_0 \frac{dy(t)}{dt} + \omega_0^2 y(t) = k_0 u(t), \quad y(0), \quad \dot{y}(0), \quad \zeta > 0, \quad (34)$$

Cel: W układzie zamkniętym ma być

$$y(t) = w_0 + (y(0) - w_0) \exp(-t\lambda) \text{ dla } w(t) = w_0, \lambda > 0, t \geq 0.$$

(35)

Reguły systemu P1-TS gwarantujące pożądane zachowanie układu zamkniętego

Założenia:

$$(\varepsilon(t), \dot{\varepsilon}(t), \ddot{\varepsilon}(t)) \in [-\alpha_2, \beta_2] \times [-\alpha_1, \beta_1] \times [-\alpha_3, \beta_3],$$

$$k_p = 2\zeta\omega_0\lambda k_0^{-1}, \quad T_i = k_0 (\omega_0^2\lambda)^{-1}, \quad T_d = \lambda k_0^{-1}.$$

Tabela: “Optymalne” reguły dla systemu P1-TS pełniące funkcję regulatora PID.

$$\dot{\varepsilon}(t), \varepsilon(t) \quad \backslash \quad \ddot{\varepsilon}(t) \rightarrow$$

\downarrow

N_3

P_3

N_1, N_2

$$-T_d\alpha_3 - T_i^{-1}\alpha_2 - k_p\alpha_1$$

$$T_d\beta_3 - T_i^{-1}\alpha_2 - k_p\alpha_1$$

N_1, P_2

$$-T_d\alpha_3 + T_i^{-1}\beta_2 - k_p\alpha_1$$

$$T_d\beta_3 + T_i^{-1}\beta_2 - k_p\alpha_1$$

P_1, P_2

$$-T_d\alpha_3 + T_i^{-1}\beta_2 + k_p\beta_1$$

$$T_d\beta_3 + T_i^{-1}\beta_2 + k_p\beta_1$$

P_1, N_2

$$-T_d\alpha_3 - T_i^{-1}\alpha_2 + k_p\beta_1$$

$$T_d\beta_3 - T_i^{-1}\alpha_2 + k_p\beta_1$$

IDENTYFIKACJA WIELOLINIOWYCH UKŁADÓW DYNAMICZNYCH PRZEZ UCZENIE NADZOROWANE

Znaleźć reguły rozmyte, modelujące system

$$\begin{cases} \frac{dz_1}{dt} = a_0 + \sum_{i=1}^n a_i z_i + \sum_{i < j}^n a_{i,j} z_i z_j + \cdots + a_{1,2,\dots,n} z_1 z_2 \cdots z_n \\ \vdots \\ \frac{dz_n}{dt} = h_0 + \sum_{i=1}^n h_i z_i + \sum_{i < j}^n h_{i,j} z_i z_j + \cdots + h_{1,2,\dots,n} z_1 z_2 \cdots z_n \end{cases} \quad (36)$$

Tabela: Dane uczące.

Chwila czasowa	z_1	z_2	\cdots	z_n
t_1	$z_1(t_1)$	$z_2(t_1)$	\cdots	$z_n(t_1)$
\vdots	\vdots	\vdots	\ddots	\vdots
t_{K+1}	$z_1(t_{K+1})$	$z_2(t_{K+1})$	\cdots	$z_n(t_{K+1})$

Rozwiązanie problemu

Twierdzenie

W wyniku zastosowania procedury uczenia otrzymujemy system P1-TS:

$$\frac{dz_j}{dt} = \mathbf{g}^T(z_1, \dots, z_n) \left(\sum_{k=1}^K \mathbf{g}_{t_k} \mathbf{g}_{t_k}^T \right)^{-1} [\mathbf{g}_{t_1}, \dots, \mathbf{g}_{t_K}] \mathbf{d}_j,$$

$$\mathbf{g}_{t_k} = \mathbf{g}(z_1(t_k), \dots, z_n(t_k)), \quad \mathbf{d}_j = \begin{bmatrix} \frac{z_j(t_2) - z_j(t_1)}{t_2 - t_1} \\ \vdots \\ \frac{z_j(t_{K+1}) - z_j(t_K)}{t_{K+1} - t_K} \end{bmatrix} \in \mathbb{R}^K, \quad (37)$$

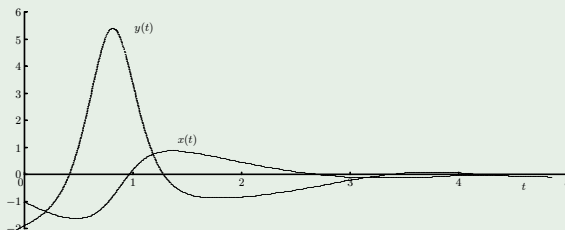
dla $j = 1, 2, \dots, n$ oraz $k = 1, 2, \dots, K$, który jest równoważny (36) z błędem

$$E_{\min} = \mathbf{d}_j^T \left(\mathbf{I} - [\mathbf{g}_{t_1}, \dots, \mathbf{g}_{t_K}]^T \left(\sum_{k=1}^K \mathbf{g}_{t_k} \mathbf{g}_{t_k}^T \right)^{-1} [\mathbf{g}_{t_1}, \dots, \mathbf{g}_{t_K}] \right) \mathbf{d}_j \quad (38)$$

Przykład identyfikacji

Przykład

$$\begin{aligned}\dot{x}(t) &= y(t), \\ \dot{y}(t) &= -6x(t) - 2y(t) - 4x(t)y(t).\end{aligned}\tag{39}$$



Rysunek: Rozwiązanie równań (39) dla $x(0) = -1$, $y(0) = -2$, $t \in [0, 5]$.

Przykład

Na podstawie danych o trajektorii systemu ($K = 5928$), otrzymujemy model

$$\text{If } [x, y] \text{ is } \begin{bmatrix} N_1 & N_2 \\ P_1 & N_2 \\ N_1 & P_2 \\ P_1 & P_2 \end{bmatrix}, \text{ then } \left[\frac{dx}{dt}, \frac{dy}{dt} \right] = \begin{bmatrix} -1.9997 & 0.7678 \\ -1.9984 & 5.8494 \\ 5.5459 & 34.5583 \\ 5.5280 & -37.0220 \end{bmatrix}.$$

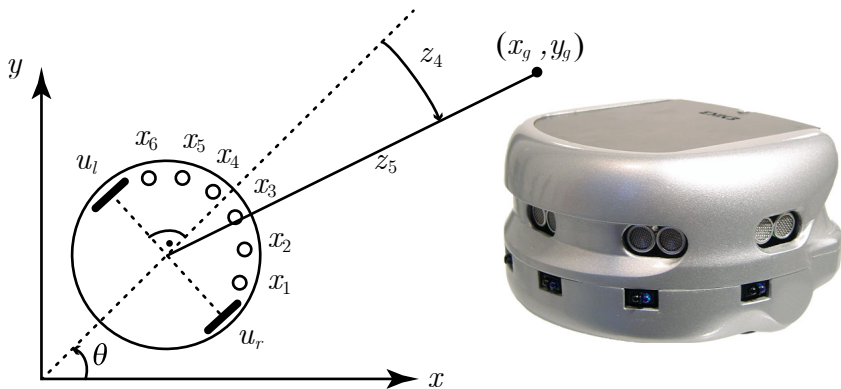
równoważny układowi równań

$$\dot{x}(t) = 0.0001 - 0.0015x(t) + 0.9995y(t) - 0.0010x(t)y(t), \quad (40)$$

$$\dot{y}(t) = 0.0019 - 6.0005x(t) - 2.0033y(t) - 3.9993x(t)y(t),$$

- Błąd aproksymacji może być arbitralnie mały.
- Metoda przypomina procedurę Widrowa-Hoffa uczenia ADALINE.
- Warto wykorzystać RLS.

ANALITYCZNE ROZWIĄZANIE PROBLEMU NAWIGACJI DLA MAŁEGO ROBOTA MOBILNEGO



Rysunek: Robot dwukołowy

Analityczne rozwiązanie problemu nawigacji - c.d.

$$z_1 = \max(x_1, x_2), \quad z_2 = \max(x_5, x_6), \quad z_3 = \max(x_3, x_4), \quad z_i \in [0, a]. \quad (41)$$

$N_1(z_1)$ - **nie ma** przeszkody z **prawej** strony,

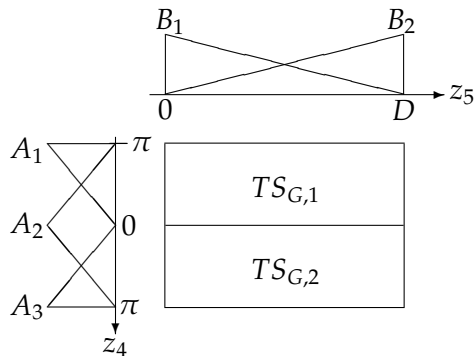
$N_2(z_2)$ - **nie ma** przeszkody z **lewej** strony,

$N_3(z_3)$ - **nie ma** przeszkody z **przodu**.

$$P_i(z_i) = 1 - N_i(z_i), \quad i = 1, 2, 3.$$

Reguła	z_1 (z prawej)	z_2 (z lewej)	z_3 (z przodu)	Decyzja	(u_l^A, u_r^A)
R_1	N_1	N_2	N_3	jedź prosto	(C, C)
R_2	P_1	N_2	N_3	skręcaj w lewo	$(-C, C)$
R_3	N_1	P_2	N_3	skręcaj w prawo	$(C, -C)$
R_4	P_1	P_2	N_3	jedź prosto	(C, C)
R_5	N_1	N_2	P_3	skręcaj w lewo	$(-C, C)$
R_6	P_1	N_2	P_3	skręcaj w lewo	$(-C, C)$
R_7	N_1	P_2	P_3	skręcaj w prawo	$(C, -C)$
R_8	P_1	P_2	P_3	skręcaj w lewo	$(-C, C)$

Analityczne rozwiązanie problemu nawigacji - c.d.



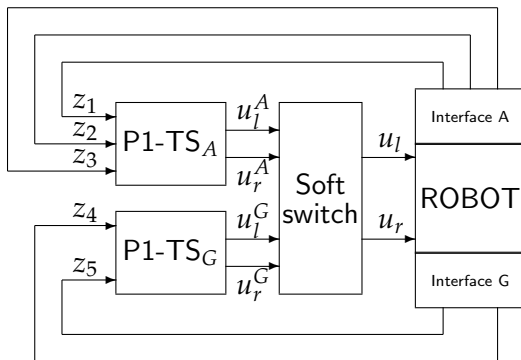
Rysunek: Funkcje przynależności w trybie pracy "jazda do celu".

A_1 - kąt z_4 jest **ujemny**, A_2 - kąt z_4 jest **bliski zeru**, A_3 - kąt z_4 jest **dodatni**, B_1 - odległość z_5 jest **mała**, B_2 - odległość x_5 jest **duża**.

Analityczne rozwiązanie problemu nawigacji - c.d.

Reguła	z_4 (kąt)	z_5 (odległość)	Decyzja	(u_l^G, u_r^G)
R_1	A_1	B_1	<i>skręcaj w lewo</i>	$(-C, C)$
R_2	A_2	B_1	<i>jedź powoli do przodu</i>	$(\eta C, \eta C)$
R_3	A_3	B_1	<i>skręcaj w prawo</i>	$(C, -C)$
R_4	A_1	B_2	<i>skręcaj w lewo</i>	$(-C, C)$
R_5	A_2	B_2	<i>jedź do przodu</i>	(C, C)
R_6	A_3	B_2	<i>skręcaj w prawo</i>	$(C, -C)$

Analityczne rozwiązanie problemu nawigacji - c.d.



Rysunek: Struktura systemu nawigacji dla małego robota mobilnego.

Analityczne rozwiązanie problemu nawigacji - c.d.

$$u_l^A = \frac{C}{a^3} (a^3 - 2a^2 z_1 - 2a^2 z_3 + 2az_1 z_2 + 2az_1 z_3 + 2az_2 z_3 - 4z_1 z_2 z_3), \quad (42)$$

$$u_r^A = \frac{C}{a^2} (a^2 - 2az_2 + 2z_1 z_2), \quad (43)$$

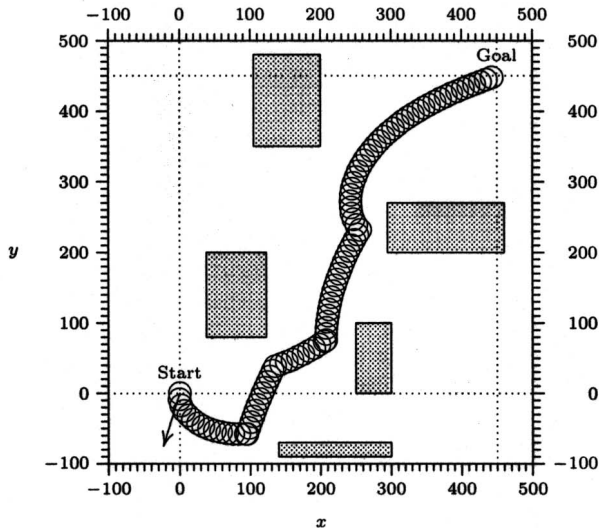
$$u_l^G = C \left(\eta + \frac{z_4 - \eta |z_4|}{\pi} + \frac{1 - \eta}{D} z_5 - \frac{1 - \eta}{\pi D} |z_4| z_5 \right), \quad (44)$$

$$u_r^G = C \left(\eta - \frac{z_4 + \eta |z_4|}{\pi} + \frac{1 - \eta}{D} z_5 - \frac{1 - \eta}{\pi D} |z_4| z_5 \right), \quad (45)$$

$$u_l = \rho u_l^A + (1 - \rho) u_l^G, \quad u_r = \rho u_r^A + (1 - \rho) u_r^G, \quad (46)$$

gdzie $\rho \in [0, 1]$ jest stałe lub $\rho = \max(x_1, \dots, x_6) / a$.

Analityczne rozwiązanie problemu nawigacji - c.d.



Rysunek: Przykładowa trajektoria robota.

- Metodologia jest praktycznie użyteczna:
 - mamy jasną interpretację lingwistyczną rozpatrywanych modeli,
 - używamy minimalnej liczby ziorów rozmytych,
 - staramy się używać najprostszych ziorów rozmytych,
 - możemy używać kilkadziesiąt lub więcej zmiennych wejściowych (nowe procedury rekursywne),
 - teoria analityczna ma zastosowania (sterowanie, diagnostyka techniczna lub medyczna).
- Zaproponowane metody analityczne są ogólne i prostsze od znanych z literatury (por. Ying, Galichet, Hirota).
- Rozmyte systemy regułowe są łatwo interpretowalne.
- Twierdzenia o transformacji mogą być łatwo wykorzystane m.in. do:
 - modelowania pewnej klasy systemów ciągłych lub dyskretnych,
 - syntezy i analizy systemów logicznych działających w logice wielowartościowej lub binarnej.
- Czytelny jest związek między regulatorem rozmytym i klasycznym PID.

Inne zastosowania teorii analitycznej

